

Tzw. „zjawiska sporadyczne” na Księżycu (TLP)

Problem tzw. „zjawisk sporadycznych” na Księżycu (ang. Transient Lunar Phenomena, **TLP**) pozostaje do dzisiaj w wielu aspektach zagadkowym. Gwałtowność pojawienia i krótki czas trwania czynią opisane zjawiska „nieuchwytnymi” dla profesjonalistów. Z tego powodu wizualne obserwacje prowadzone przez wielu miłośników astronomii mogą wypełnić tę lukę obserwacyjną.

Koniecznymi warunkami prowadzenia poszukiwań i rejestracji zjawisk sporadycznych powinny być: wystarczająco duża rozdzielczość teleskopu, idealne warunki atmosferyczne, krytyczny i bez uprzedzeń stosunek do tego, co się zobaczy oraz pełna dokumentacja obserwowanego zjawiska – data, czas, ocena stanu atmosfery (spokój i przejrzystość), przyrząd, miejsce obserwacji (szczególnie ważny jest brak źródeł światła w pobliżu miejsca obserwacji), położenie na powierzchni Księżyca i charakter dostrzeżonego zjawiska. Szczególnie cenne są równoczesne obserwacje prowadzone z różnych miejsc przez kilku obserwatorów, co w większości przypadków gwarantuje wiarygodność zjawiska, wykluczając wpływ subiektywnych ocen obserwatora. Wskazane jest wykonywanie obserwacji również z wykorzystaniem filtrów barwnych, w szczególności czerwonych i niebieskich.

Czym są według współczesnych danych zjawiska sporadyczne na Księżycu? Katalogi zauważonych szybkich zmian wyglądu, barwy, jasności czy ostrości szczegółów powierzchniowych Księżyca zawierają już opisy setek przypadków, których wiarygodność jest duża bądź w ogóle nie ulega wątpliwości. Fakty stwierdzone przez różnych obserwatorów są zebrane i poszeregowane w katalogach P.W. Florenskiego i W.M. Czernowa¹⁵ oraz J.M. Burley i B. Middlehurst¹⁶. Według powtarzalności zjawisk w danym rejonie wyróżnia się szczególnie „aktywne” obiekty, w pobliżu których zjawiska sporadyczne obserwowano dziesiątki razy. „Aktywnymi” obiektami, są z reguły stosunkowo młode, duże krater. Wyraźną prawidłowością jest ich położenie na peryferiach kolistych mórz lub wzdłuż systemów uskoków i wałów na ich powierzchni. Średni czas trwania obserwowanych zjawisk nie przekracza 15 minut, czyli można zaobserwować ich pełny przebieg. Zaobserwowano także zależność częstości pojawiania się zmian sporadycznych od położenia Księżyca na orbicie. Okazało się, że najczęściej opisywane zmiany pojawiają się w okresie przechodzenia Księżyca przez perygeum. Około jedna czwarta wszystkich zanotowanych przypadków przypada na okres trzech dni, z których środkowy odpowiada położeniu Księżyca w perygeum. Drugie maksimum częstości zdarzeń, wynoszące ponad jedną dziesiątą wszystkich zarejestrowanych przypadków, przypada na tej samej długości okres w pobliżu apogeum Księżyca.

Zgodnie z charakterem zjawisk sporadycznych można podzielić je na cztery grupy. Do pierwszej zalicza się zmiany zewnętrznego wyglądu obiektu – jego kształtu, konturów cienia, wyglądu góry centralnej itd., a także lokalne zmiany ostrości obrazu, które należy odróżniać od drgań lub rozmycia związanego z wpływem niestabilności atmosferycznej. Drugą grupę tworzą przypadki zmiany jasności obiektu lub pojawienia się różnego kształtu jasnych plam i punktów. Do trzeciej grupy wchodzi zmiany barwy fragmentów powierzchni Księżyca, do czwartej – przypadki pojawienia się ciemnych plam.

Szczególne znaczenie ma poszukiwanie zjawisk na nocnej stronie Księżyca poprzez obserwację światła popielatego. W tych warunkach pojawienie się świecących plam lub gwałtowne zwiększenie jasności obiektów jest szczególnie wyraźnie widoczne. Należy jednak zwrócić uwagę na to, że poszukiwanie zmian w świetle popielatym powinno być poprzedzone dokładnym zaznajomieniem się z wyglądem szczegółów powierzchni w tych warunkach. Początkujący obserwator często bierze jasne obiekty, oświetlone odbitym światłem Ziemi, za jakieś niezwykle zjawiska¹⁷. Obserwując nocną stronę Księżyca można też niekiedy dostrzec rozbłyski spowodowane uderzeniem meteoroidów w jego powierzchnię. Niejednokrotnie w okresie deszczów meteorów z rojów Taurydów

¹⁵ Florenskij P.V, Chernov V.M., „Observations of some transient phenomena on the moon (Collection 5)”, *Astron. vestn.*, Tom 16, 60-62 (1982)

¹⁶ Burley J.M., Middlehurst B.M., „Apparent Lunar Activity, Historical Review”, *Proc. Nat. Acad. Sci.*, vol. 55, no. 5 (1966), pp. 1007-1011

¹⁷ Np., dobrze widoczny w świetle popielatym krater Arystarch zwykle jest uważany za "wybuch"

(październik-listopad) czy Leonidów (listopad) obserwowano takie zjawiska, osiągające jasność wizualną nawet 3^m.

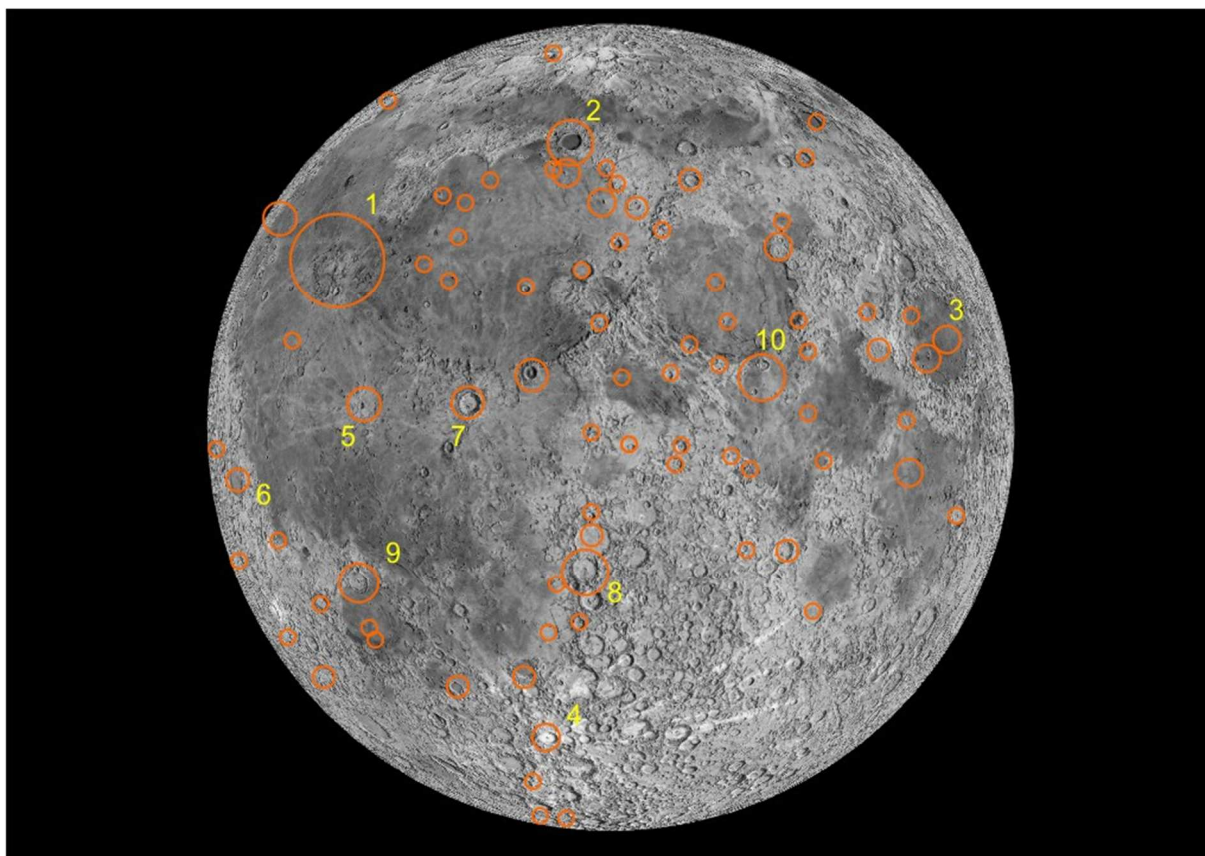
Poniższa tabela przedstawia zestawienie liczebności zarejestrowanych raportów TLP w różnych utworach powierzchniowych Księżyca (najczęściej w kraterach uderzeniowych) do października 1967 r., wg katalogu Middlehurst¹⁸. Podane współrzędne B i L oznaczają odpowiednio szerokość i długość selenograficzną danego utworu. Dla ułatwienia identyfikacji utworu podane również numer mapy w zamieszczonym na kolejnych stronach „Almanachu...” atlasie Księżyca, na której oznaczony jest dany utwór powierzchniowy.

Na załączonej mapie zaznaczone są schematycznie obszary zachodzenia zjawisk sporadycznych wg. wymienionych katalogów. Posługując się tą mapą oraz szczegółowymi mapami atlasu Księżyca, obserwator może skoncentrować się na „aktywnych” obiektach, które będą widoczne przy danej fazie. Jak już wspomniano powyżej, z większym prawdopodobieństwem można zaobserwować opisywane zjawiska w dniach przechodzenia Księżyca przez perygeum i apogeum, podanych dla każdego miesiąca w niniejszym „Almanachu...”.

Liczba TLP	Utwór powierzchniowy	B	L	Nr mapy w atlasie
122	Aristarchus	24°N	48°W	4
40	Plato	51°N	9°W	2
20	Dolina Schrötera	26°N	52°W	4
18	Alphonsus	13°S	3°W	13
16	Gassendi	18°S	40°W	12
13	Ross D	12°N	22°E	10
12	Mare Crisium	18°N	58°E	7, 11
6	Głowa Kobry	24°N	48°W	4
	Copernicus	10°N	20°W	9
	Kepler	8°N	38°W	8
	Posidonius	32°N	30°E	6
	Tycho	43°S	11°W	17
5	Eratosthenes	15°N	11°W	5, 9
	Messier	2°N	48°E	11
4	Grimaldi	6°S	68°W	8
	Lichtenberg	32°N	68°W	4
	Mons Piton	41°N	1°W	2
	Picard	15°N	55°E	7, 11
3	Capuanus	34°S	26°W	16
	Cassini	40°N	5°E	2
	Eudoxus	44°N	16°E	2
	Mons Pico B	46°N	9°W	2
	Pitatus	30°S	13°W	13
	Proclus	16°N	47°E	7
	Ptolemaeus	9°S	2°W	13
	Riccioli	3°S	74°W	8
	Schickard	44°S	26°E	16
	Theophilus	12°S	26°E	14, 15
2	1.3' SE od Platona	47°N	3°W	2
	Alpetragius	16°S	5°W	13
	Atlas	47°N	44°E	3
	Bessel	22°N	18°E	6
	Calippus	39°N	11°E	2, 6
	Helicon	40°N	23°W	1
	Herodotus	23°N	50°W	4
	Littrow	21°N	31°E	6, 7
	Macrobius	21°N	46°E	7
	Mare Humor	24°S	39°W	12

¹⁸ Middlehurst B.M., Barley J.M., Moore P., Welther B.L., „Chronological Catalog of Reported Lunar Events”, NASA Technical Report TR R-277, 1968

Liczba TLP	Utwór powierzchniowy	B	L	Nr mapy w atlasie
2	Mare Tranquillitatis	8°N	28°E	10
	Mons La Hire	28°N	26°W	5
	S od Montes Alpes	46°N	2°E	2
	Montes Teneriffe	47°N	13°W	2
	Pallas	5°N	2°W	9
	Promontorium Agarum	18°N	58°E	7
	Promontorium Heraclides	14°N	66°E	7, 11
	<i>biegun południowy</i>	90°S	0°E	21
	Theaetetus	37°N	6°E	5, 6
	Timocharis	27°N	13°W	5
1	Agrippa	4°N	11°E	10
	Anaximander	67°N	51°W	1
	Archimedes	30°N	4°W	5
	Arzachel	18°S	2°W	13
	Birt	22°S	9°W	13
	Carlini	34°N	24°W	5
	Cavendish	24°S	54°W	12
	Censorinus	0°N	32°E	11
	Clavius	58°S	14°W	20
	Conon	22°N	2°E	5
	Daniell	35°N	31°E	6
	Darwin	20°S	69°W	12
	Dawes	17°N	26°E	6
	Dionysius	3°N	17°E	10
	Endymion	54°N	56°E	3
	Fracastorius	21°S	33°E	14
	Godin	2°N	10°E	10
	Hansteen	11°S	52°W	12
	Hercules	47°N	39°E	3
	Herschel	6°S	2°W	9
	Humboldt	27°S	80°E	15
	Hyginus N	8°N	6°E	10
	Kant	11°S	20°E	14
	Kunowsky	3°N	32°W	8
	Lambert	26°N	21°W	5
	Langrenus	9°S	61°E	15
	Montes Leibnitz	83°S	39°W	20
	Manilius	15°N	9°E	6, 10
	Mare Nubium	10°S	15°W	13
	Mare Serenitatis	28°N	18°E	6
	Mare Vaporum	13°N	3°E	9, 10
	Marius	12°N	51°W	8
	Menelaus	16°N	16°E	6, 10
	Mersenius	22°S	49°W	12
	Mont Blanc	45°N	0°E	2
	Montes Carpatius	15°N	25°W	5, 9
	Montes Taurus	26°N	36°E	6
	Peirce A	18°N	53°E	7
	Philolaus	72°N	32°W	2
	Plinius	15°N	24°E	6, 10
	Sabine	1°N	20°E	10
	S od Sinus Iridium	45°N	32°W	1
	Sulpicius Gallus	20°N	12°E	6
	Taruntius	6°N	46°E	11
	Thales	62°N	50°E	3
	Triesnecker	4°N	4°E	9, 10
	Vitruvius	18°N	31°E	6
Walter	33°S	0°E	17	



Rozmieszczenie TLP na Księżycu wg katalogu Middlehurst i in. (1968). Rozmiar symbolu jest proporcjonalny do liczby zarejestrowanych zjawisk dla danego tworu powierzchniowego. Oznaczenia: 1 – Arystarch (łącznie z Doliną Schrötera, Głową Kobry i Herodotusem), 2 – Platon, 3 – Mare Crisium, 4 – Tycho, 5 – Kepler, 6 – Grimaldi, 7 – Copernicus, 8 – Alphonsus, 9 – Gassendi, 10 – Ross D¹⁹.

¹⁹ Crotts A., Water on the Moon, III. Volatiles & Activity. *Astronomical Review*, 2012, vol. 7, p. 53-94